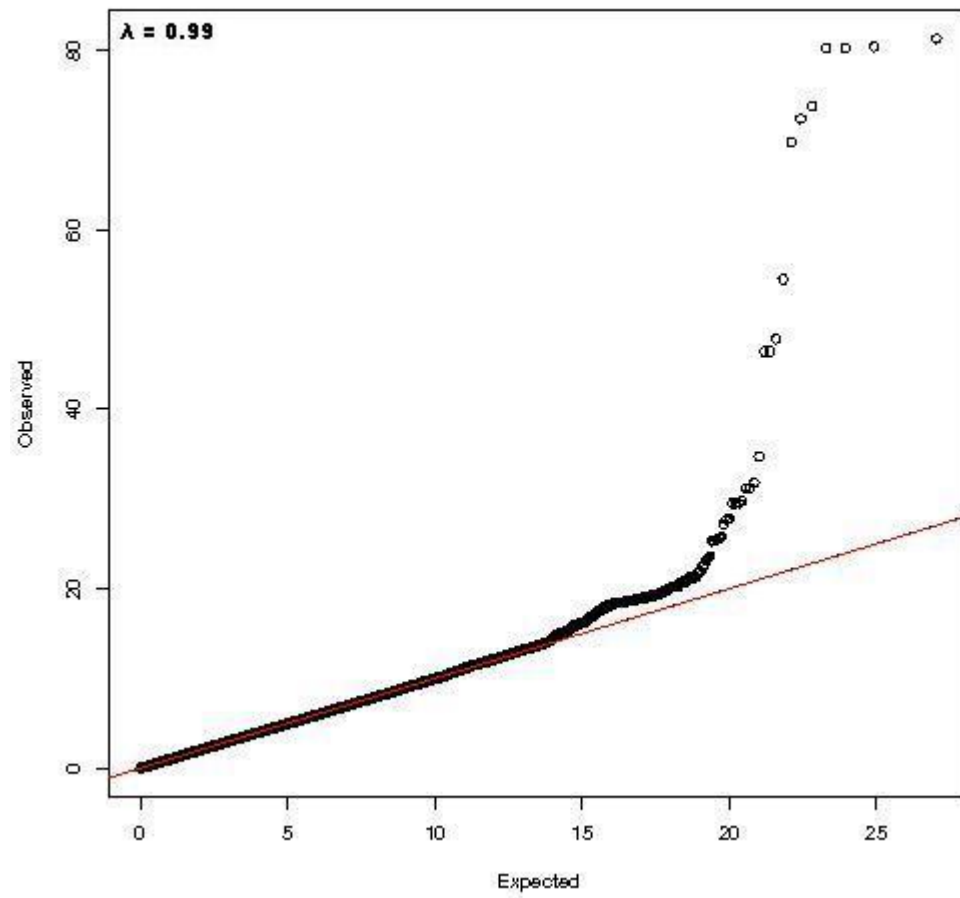
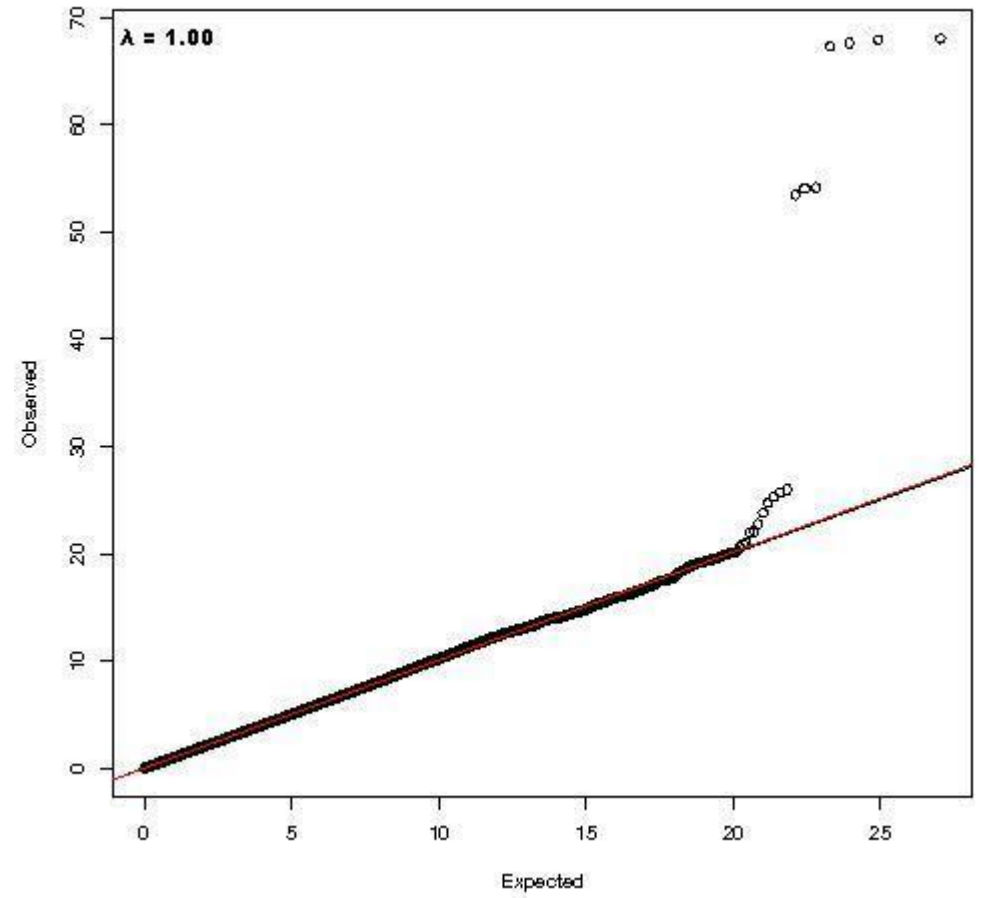


Figure S1

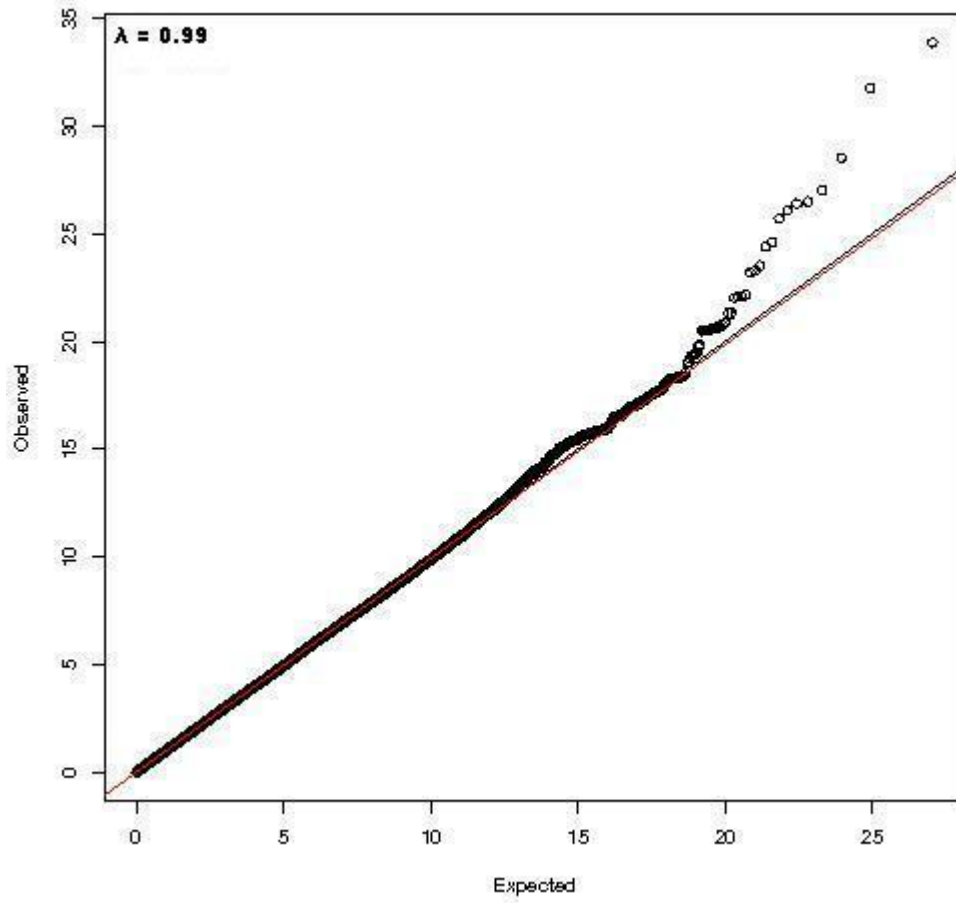
Glu-CER 16:0



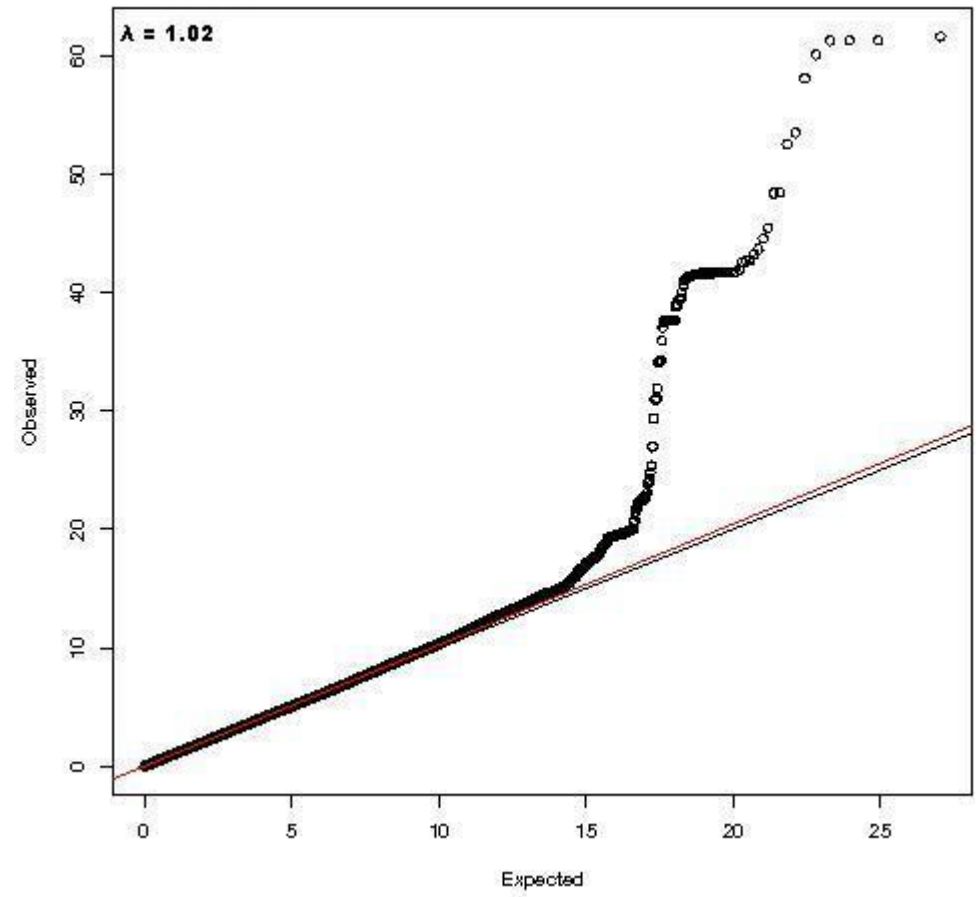
% CER 16:0



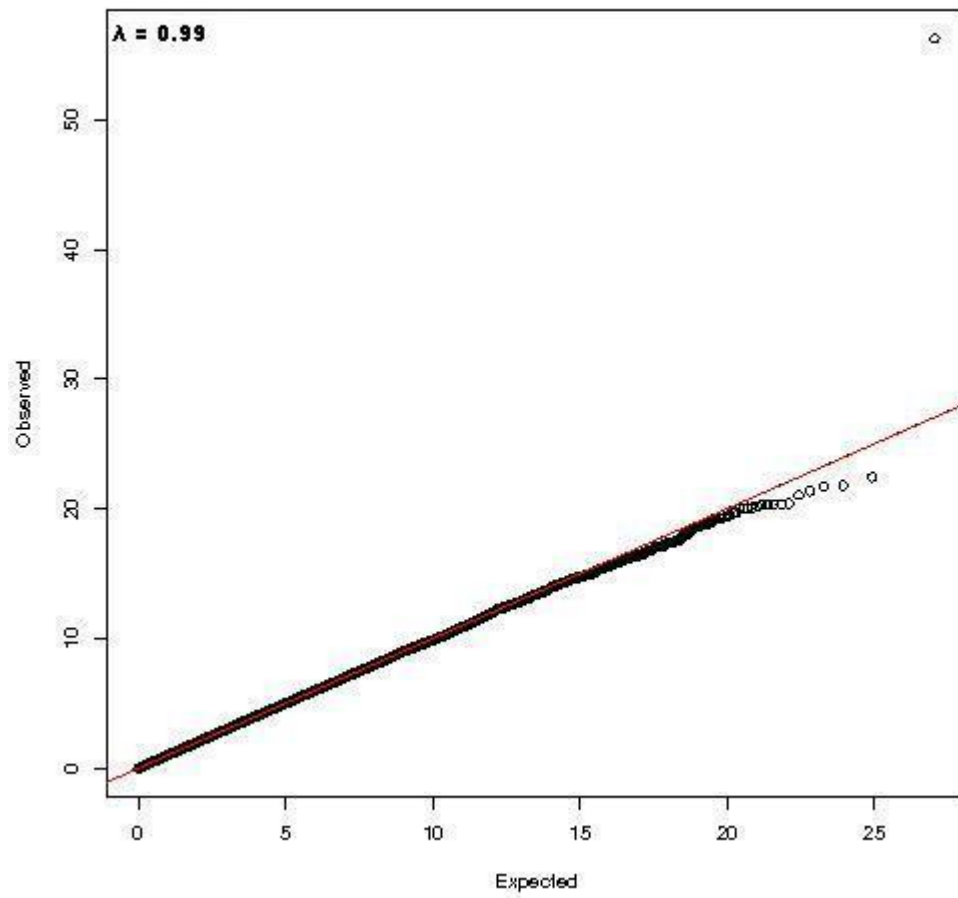
% CER 18:0



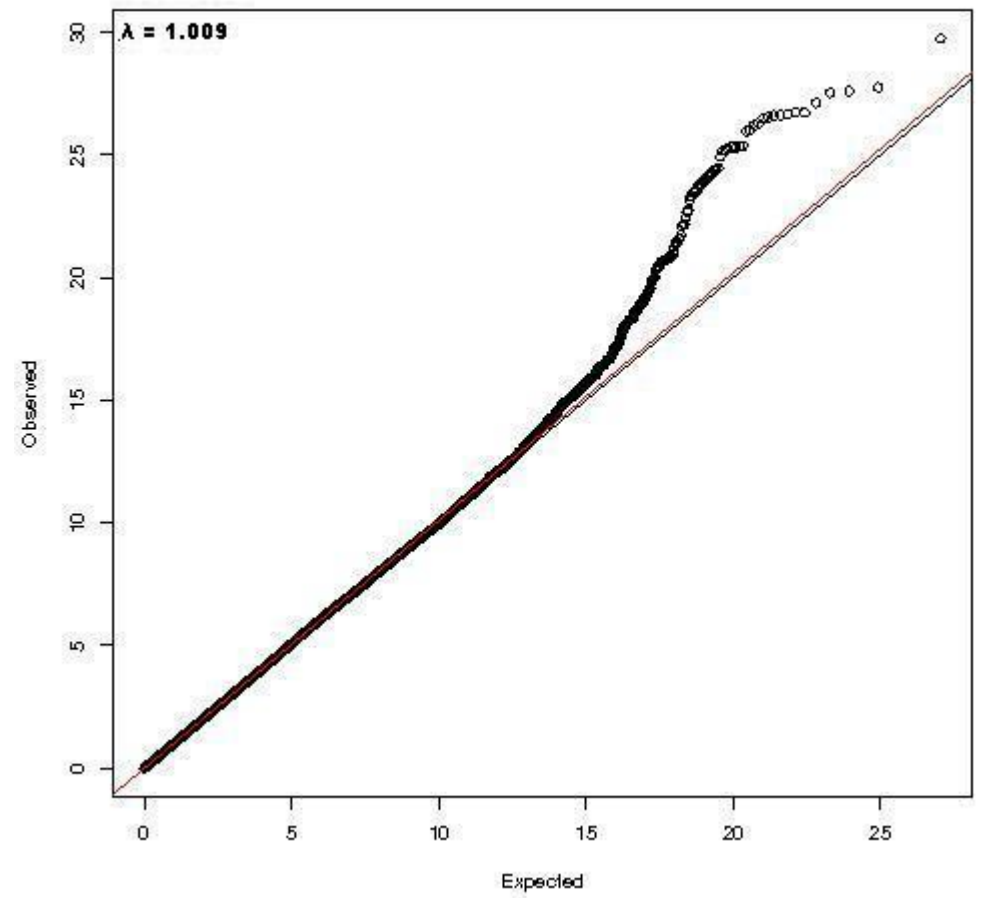
% Glu-CER 24:1



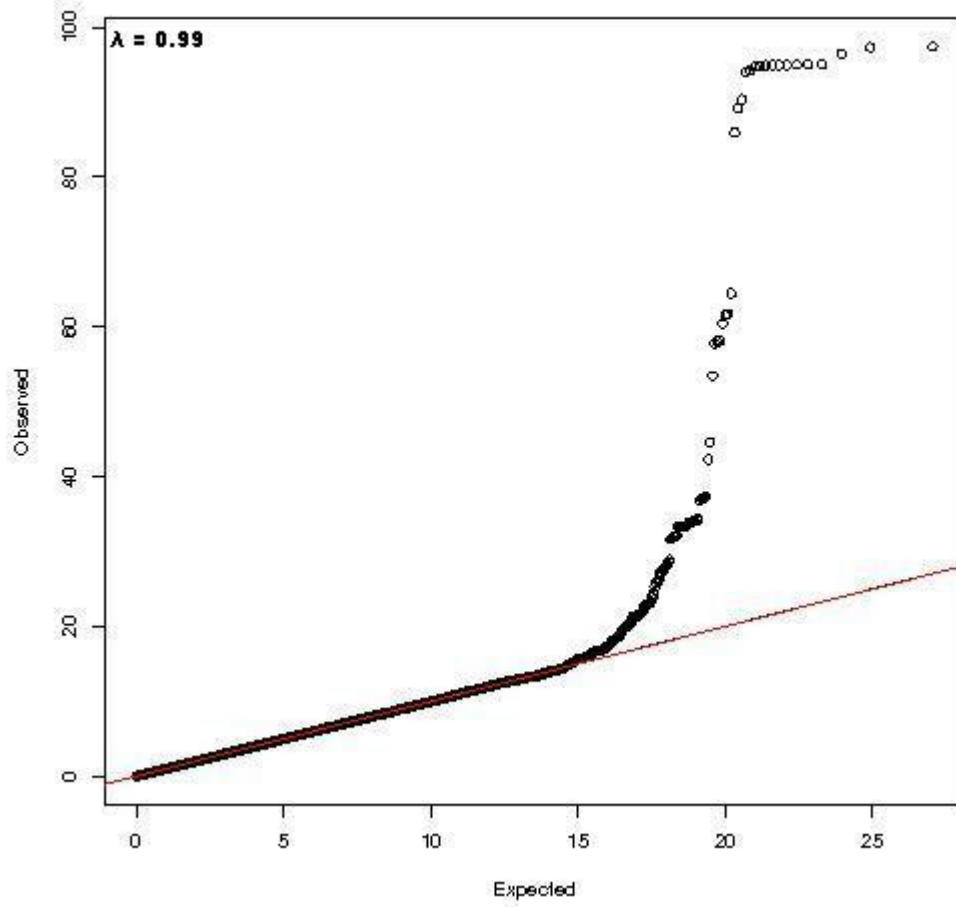
% LPC 16:1



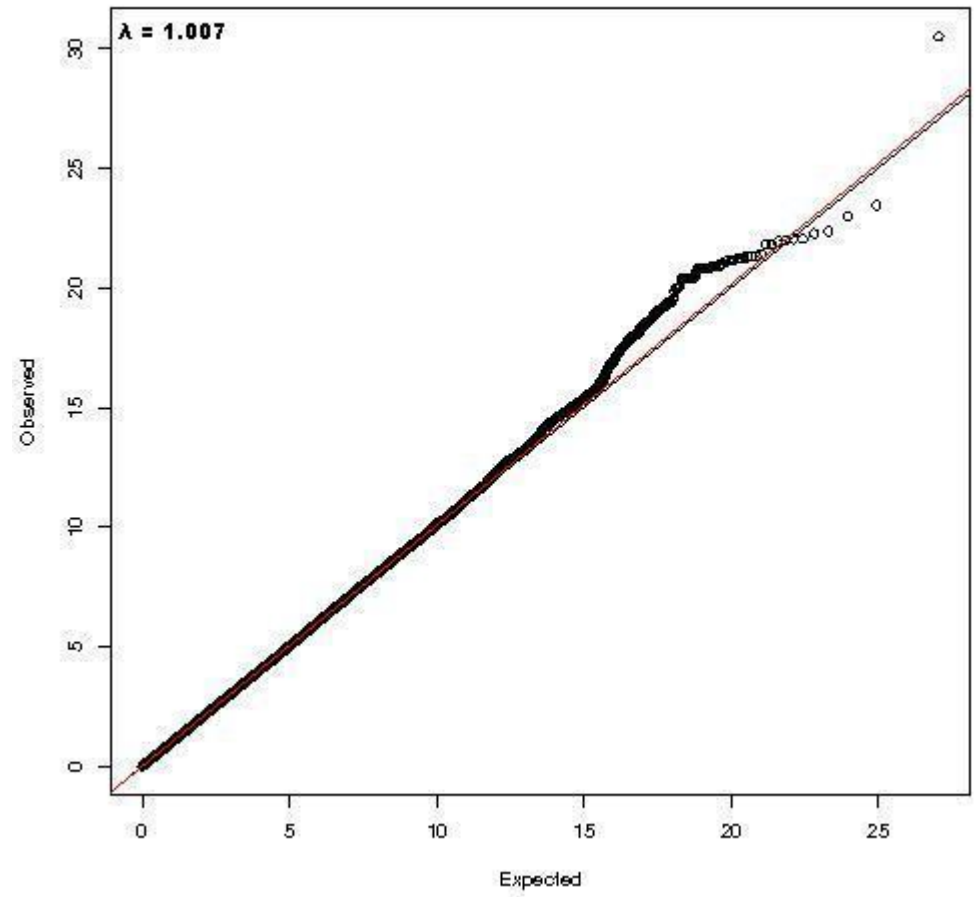
% LPC 18:0



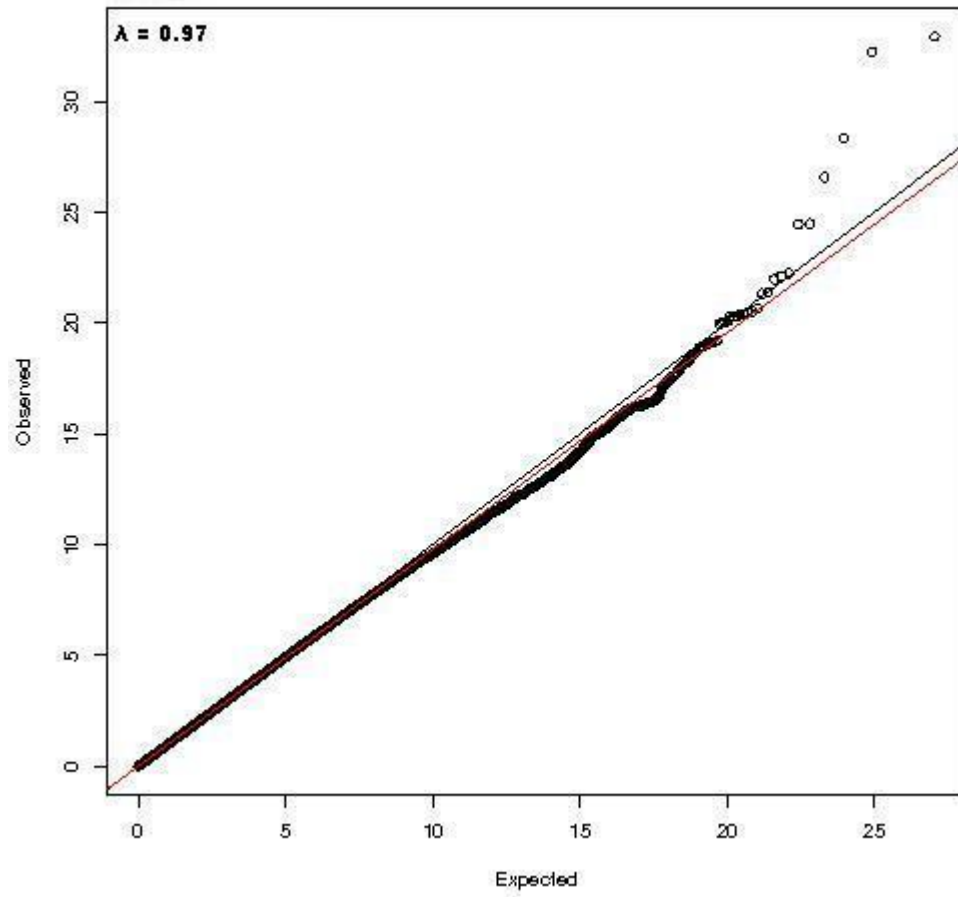
% LPC 20 :3



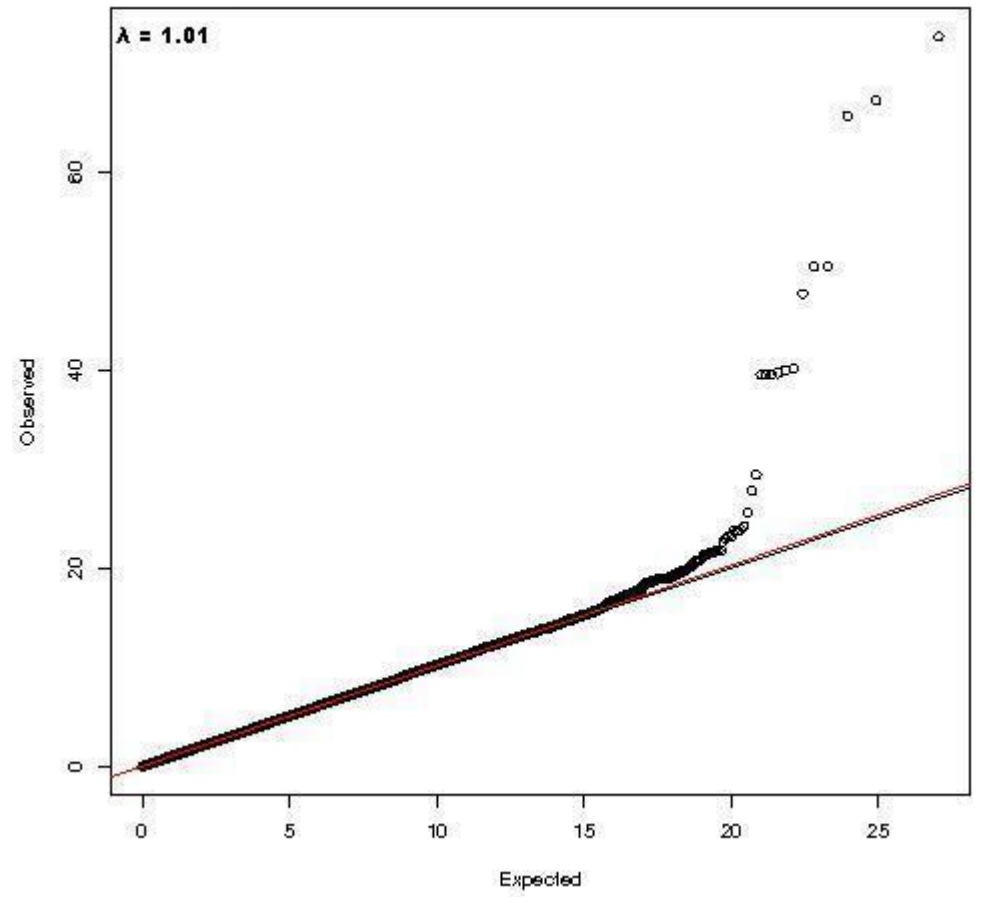
% Saturated LPC



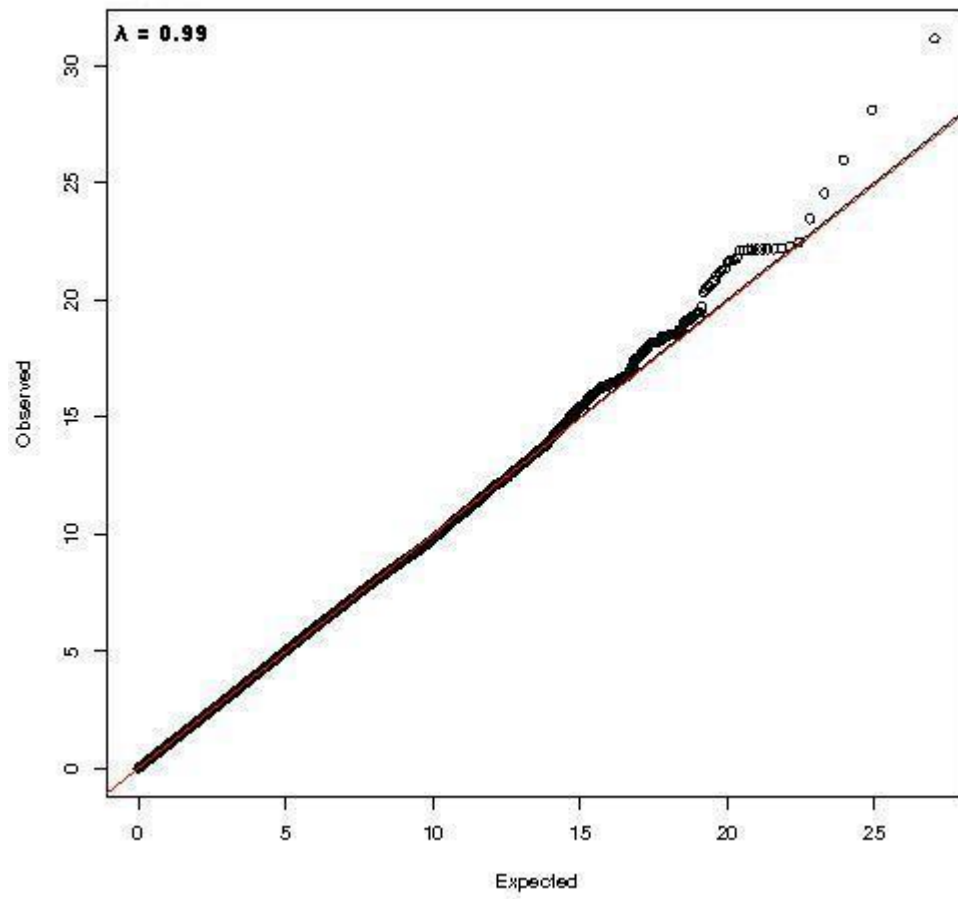
PC 30 :1



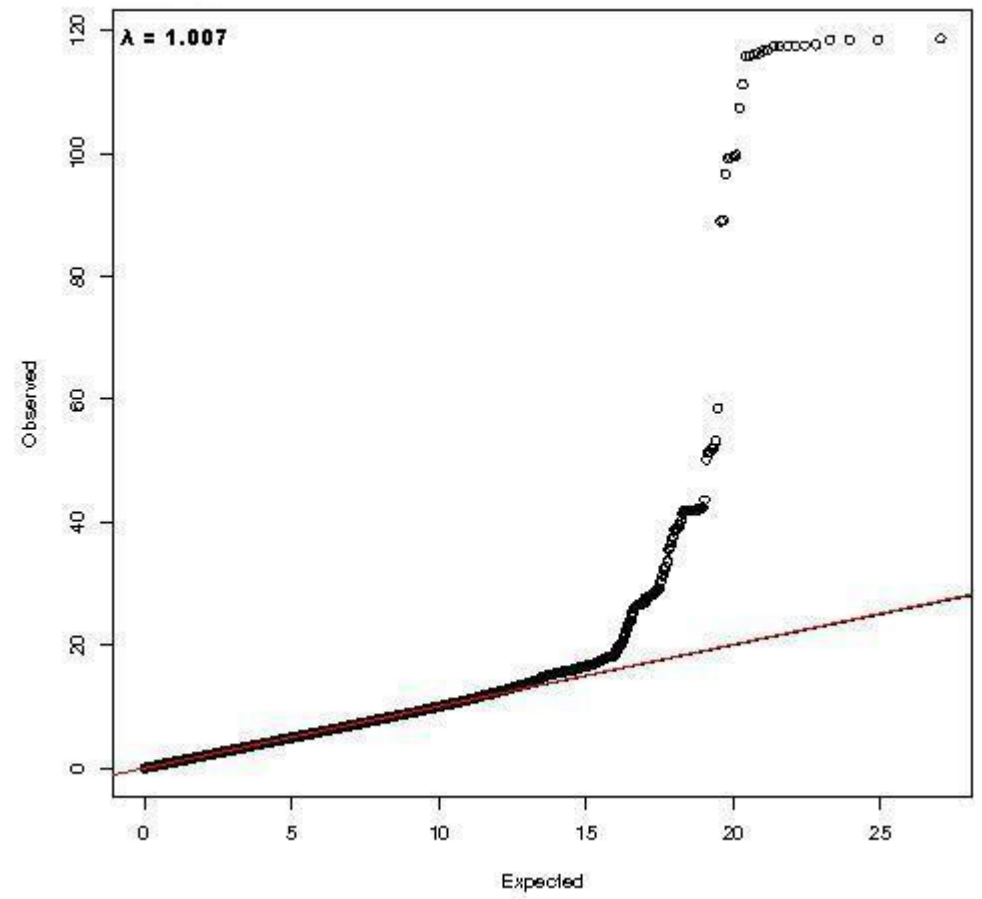
PC O 32 :1



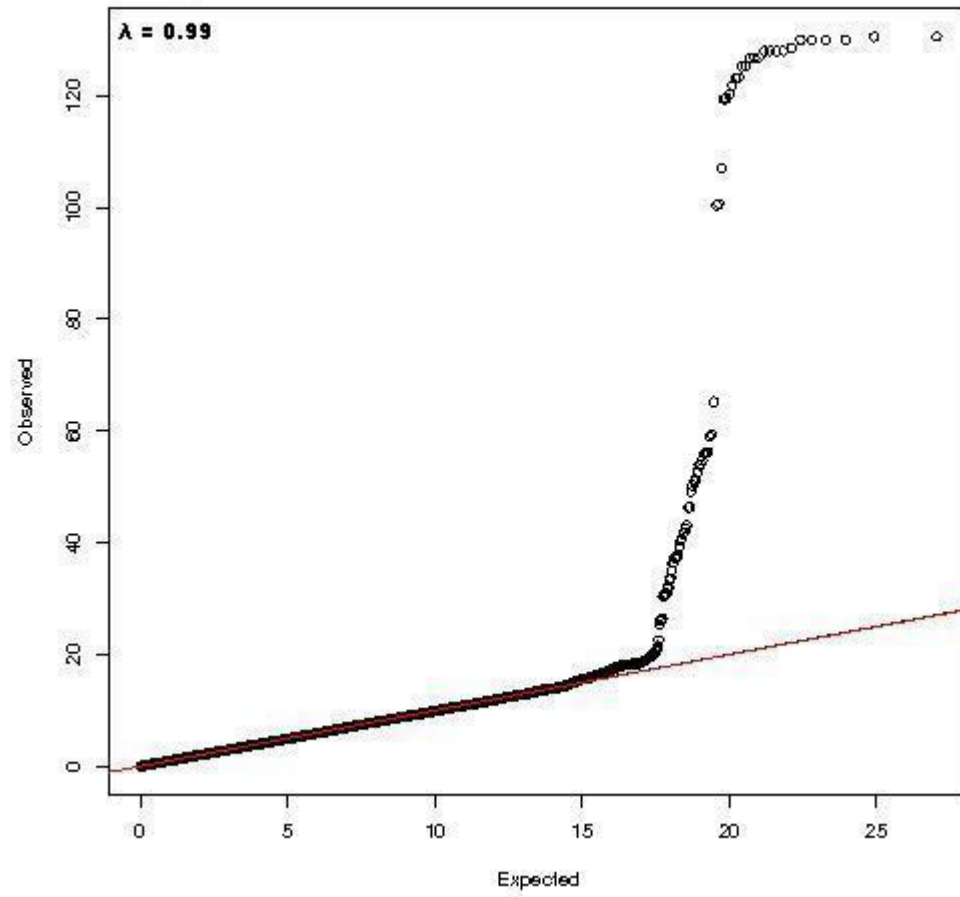
PC 32:1



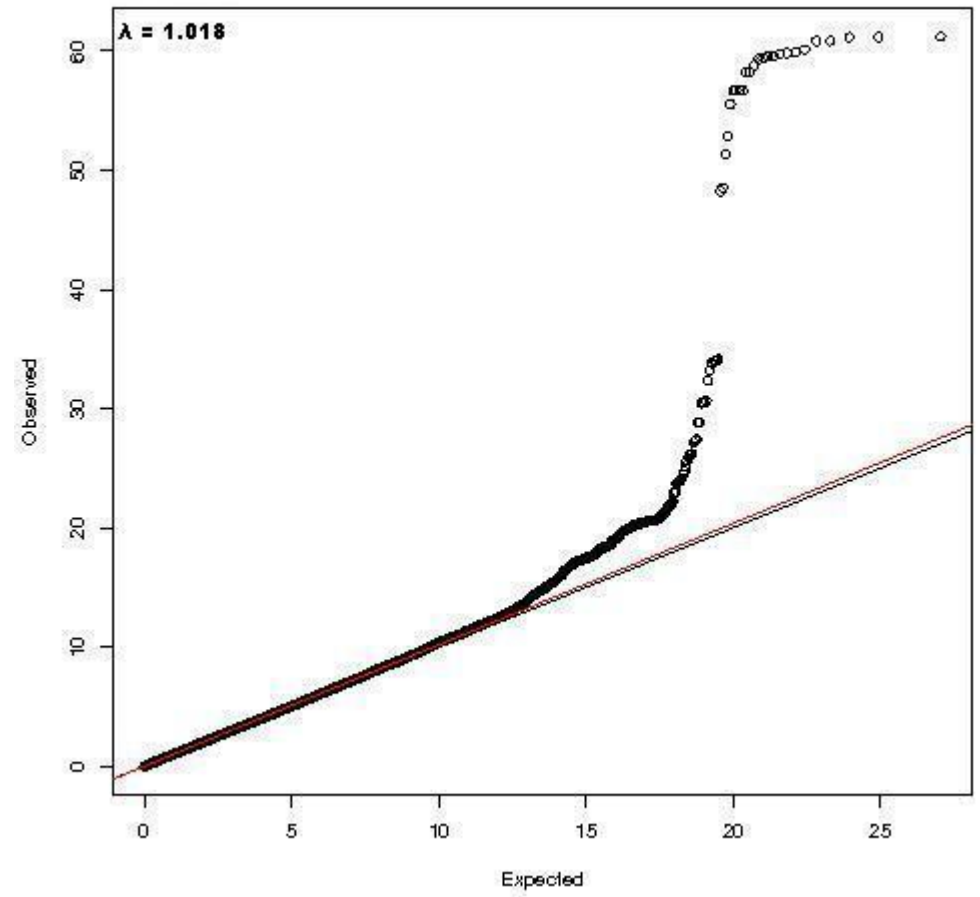
PC 34:4



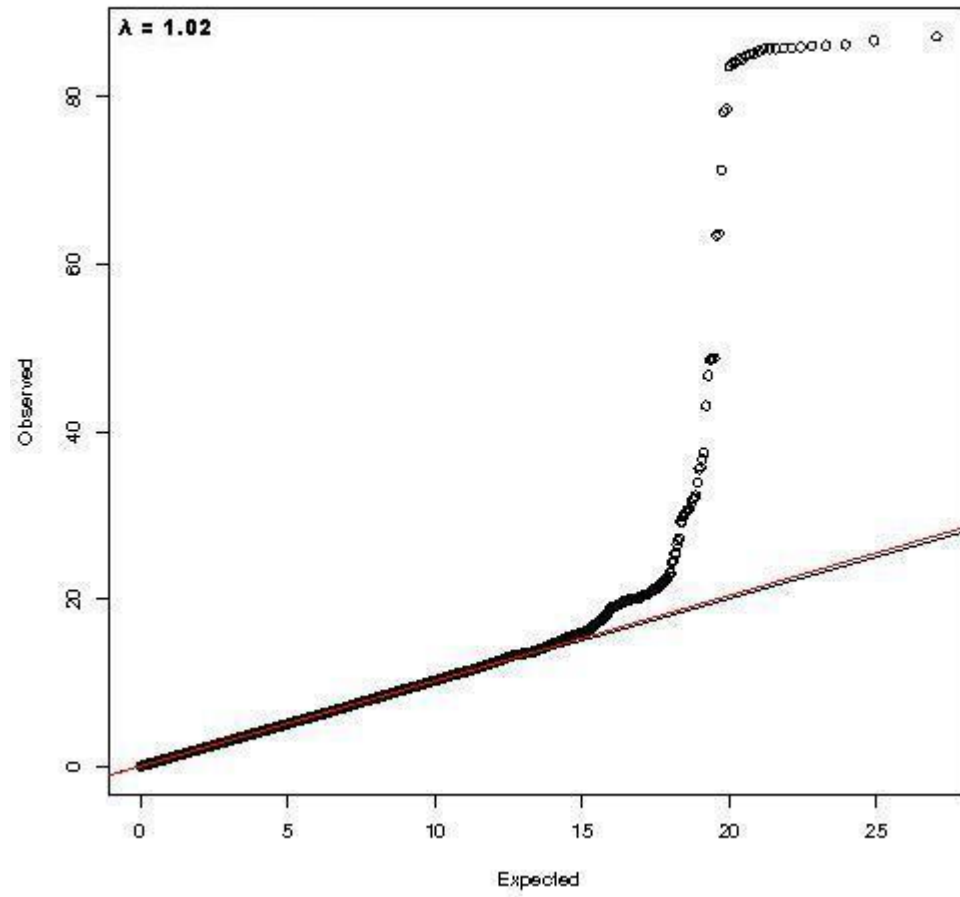
PC 40:3



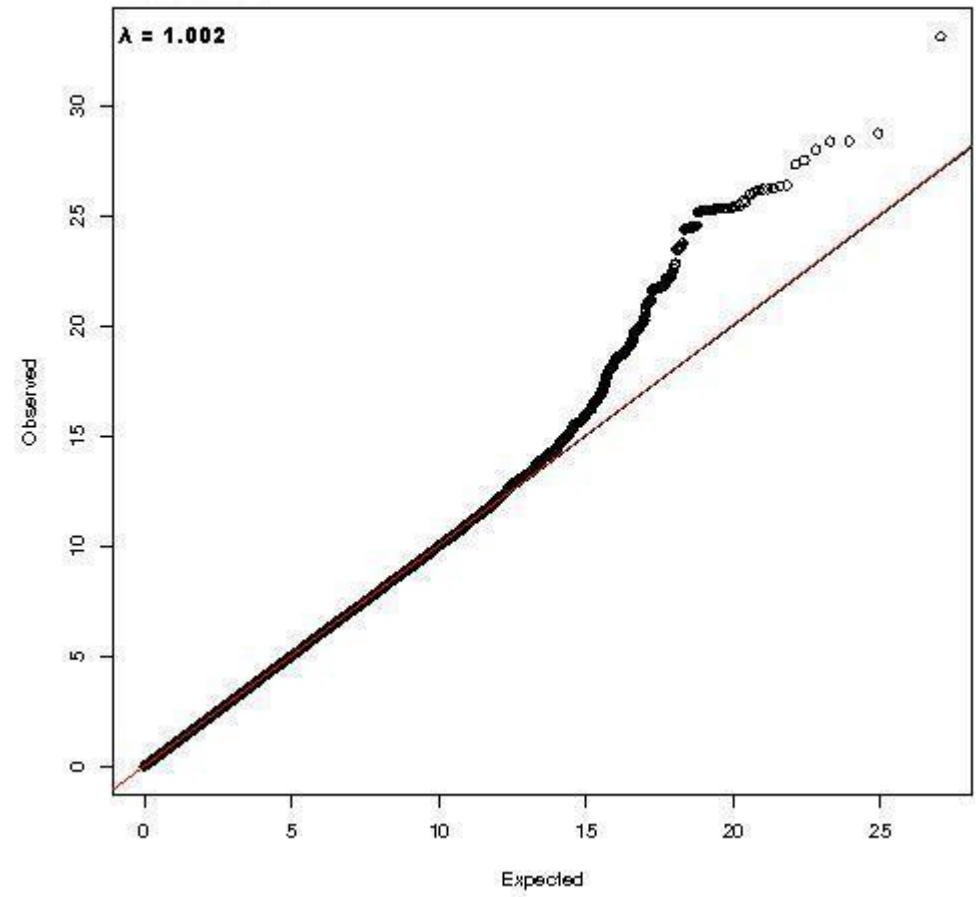
PC O 42:6



PC O 42:5

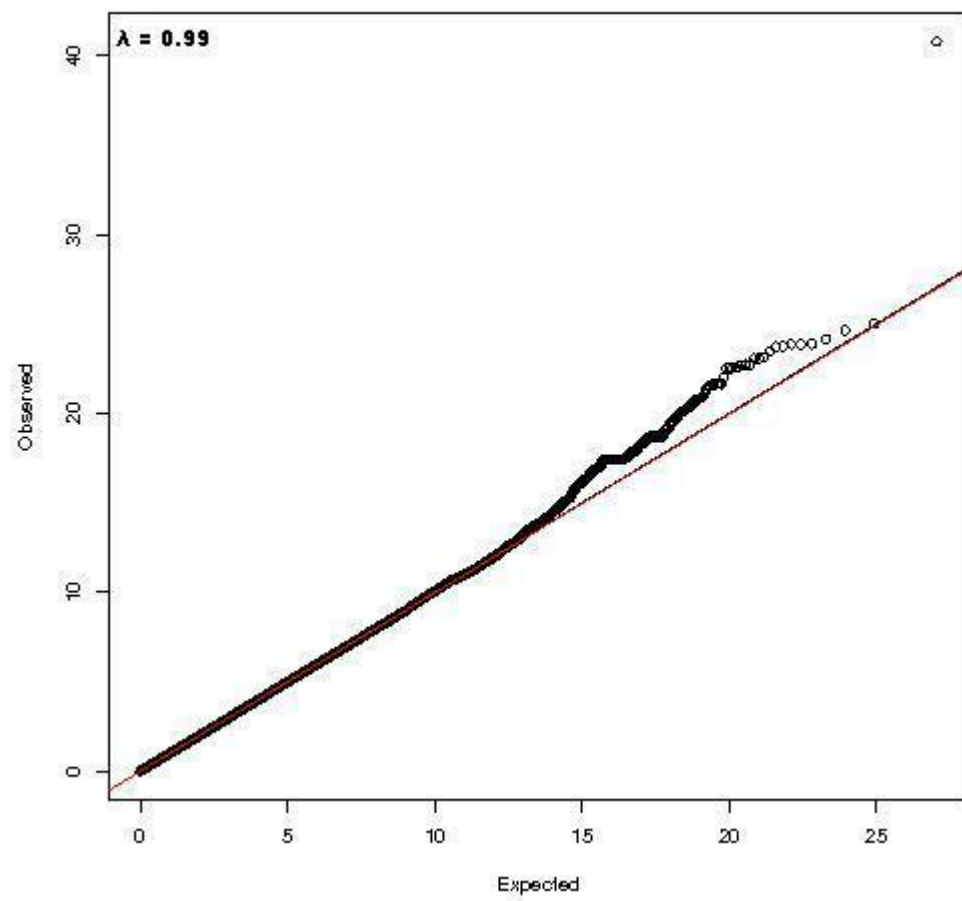


PC /LPC

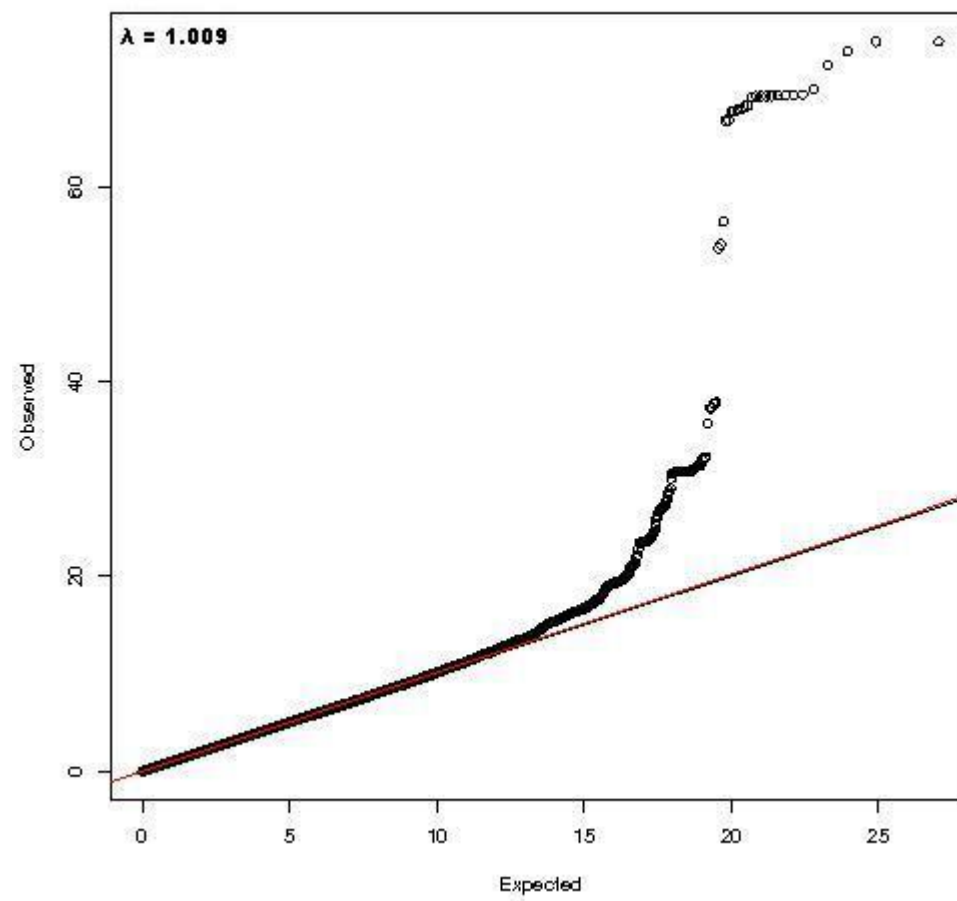




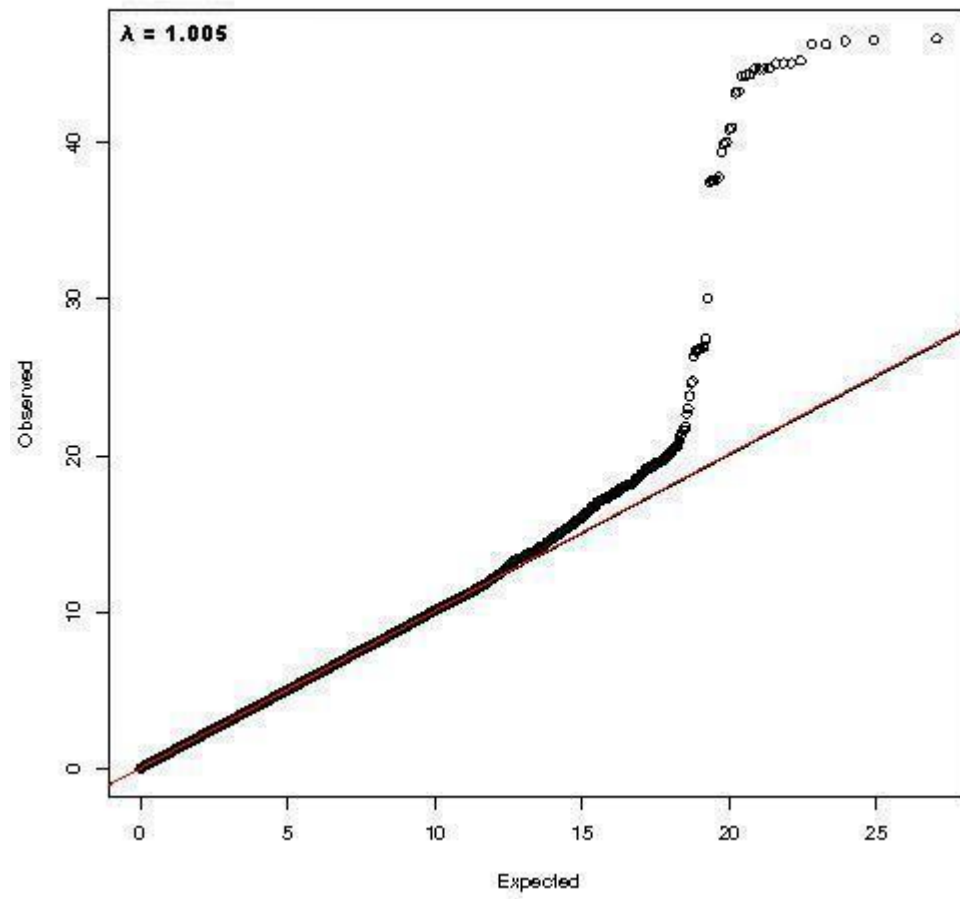
% PC O 32:0



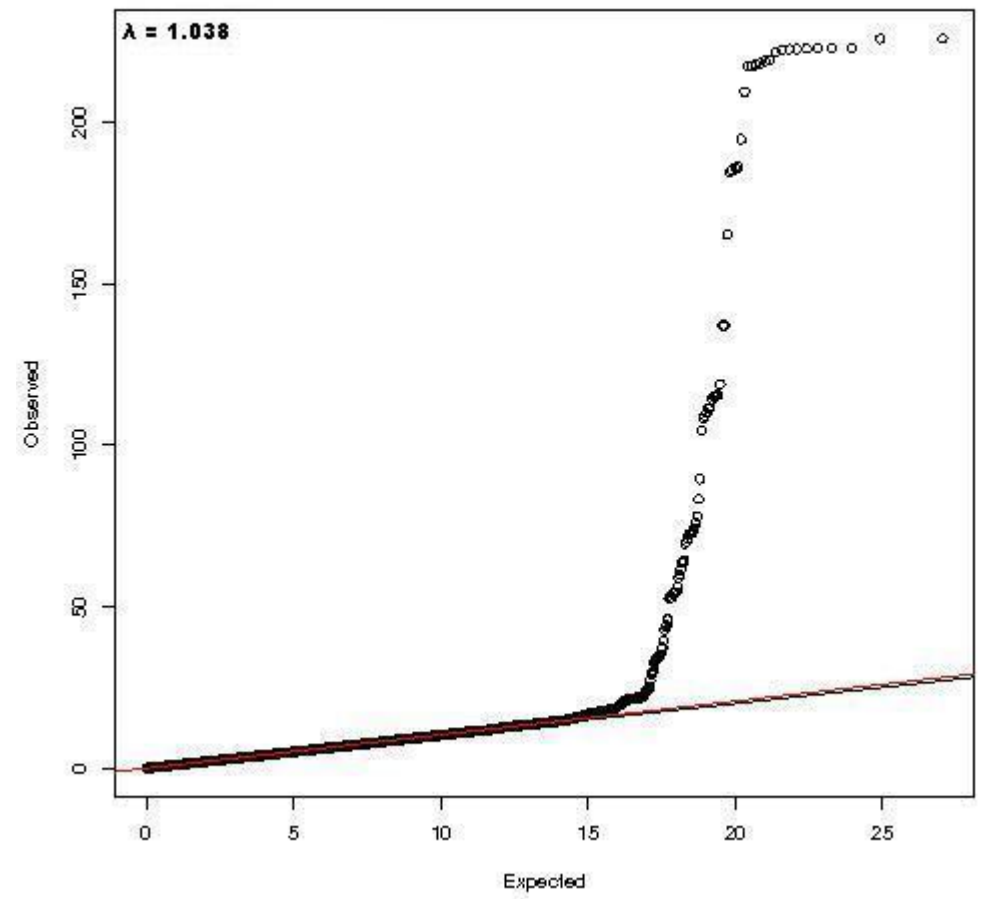
% PC 32:2



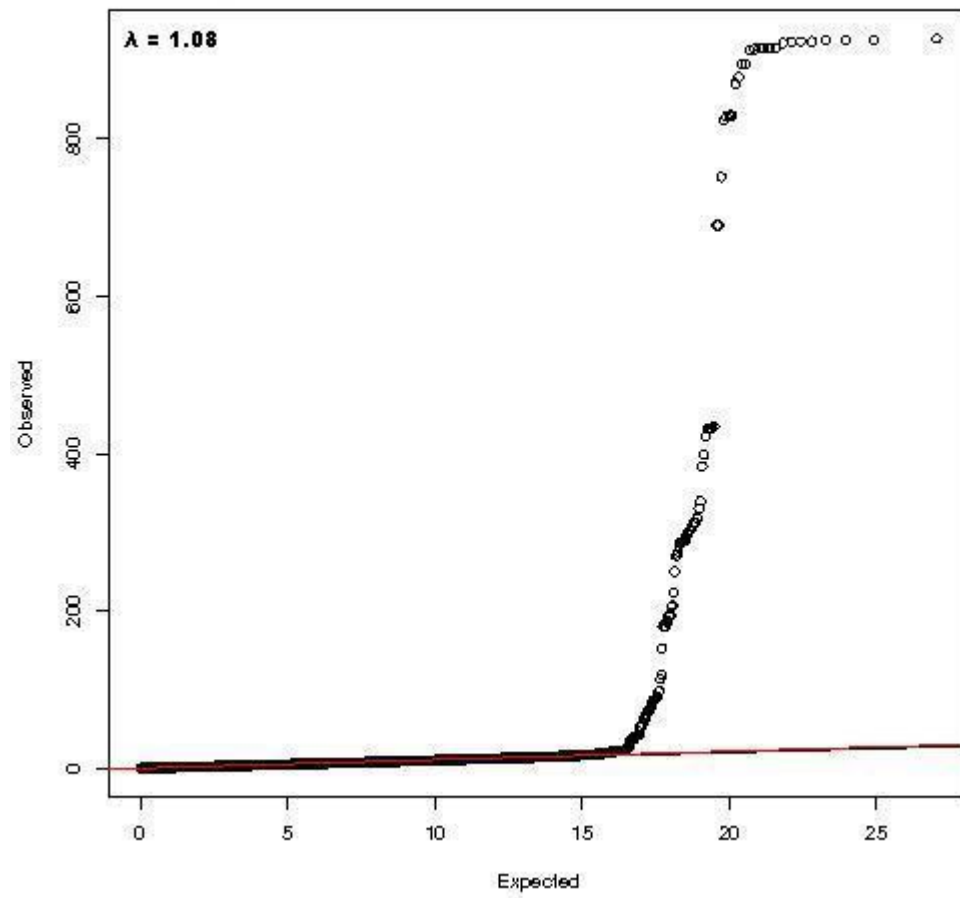
% PC 32:0



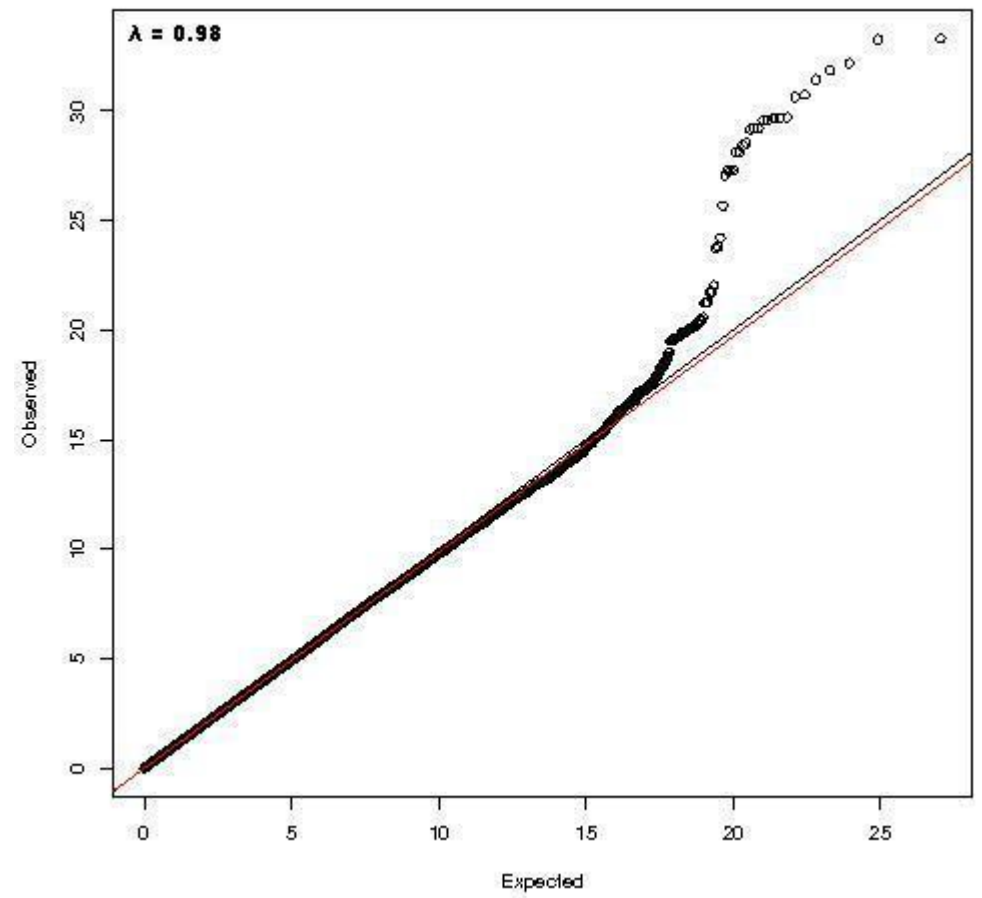
% PC O 36:5



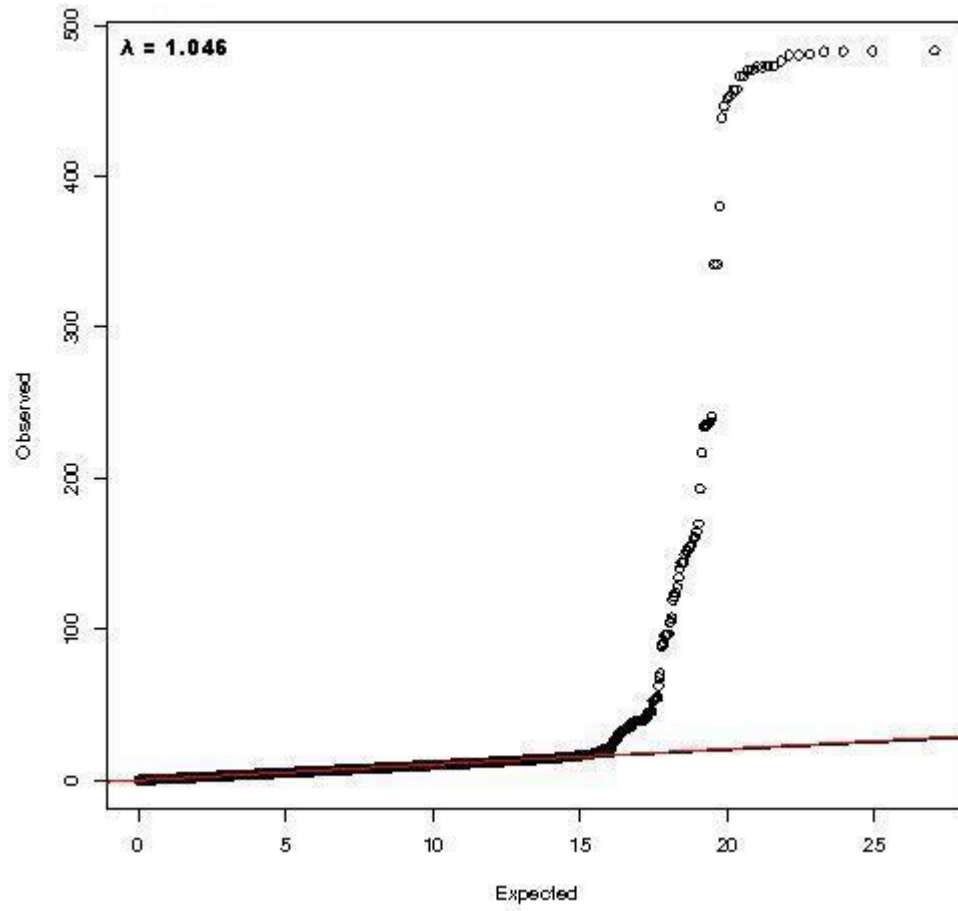
% PC 36:4



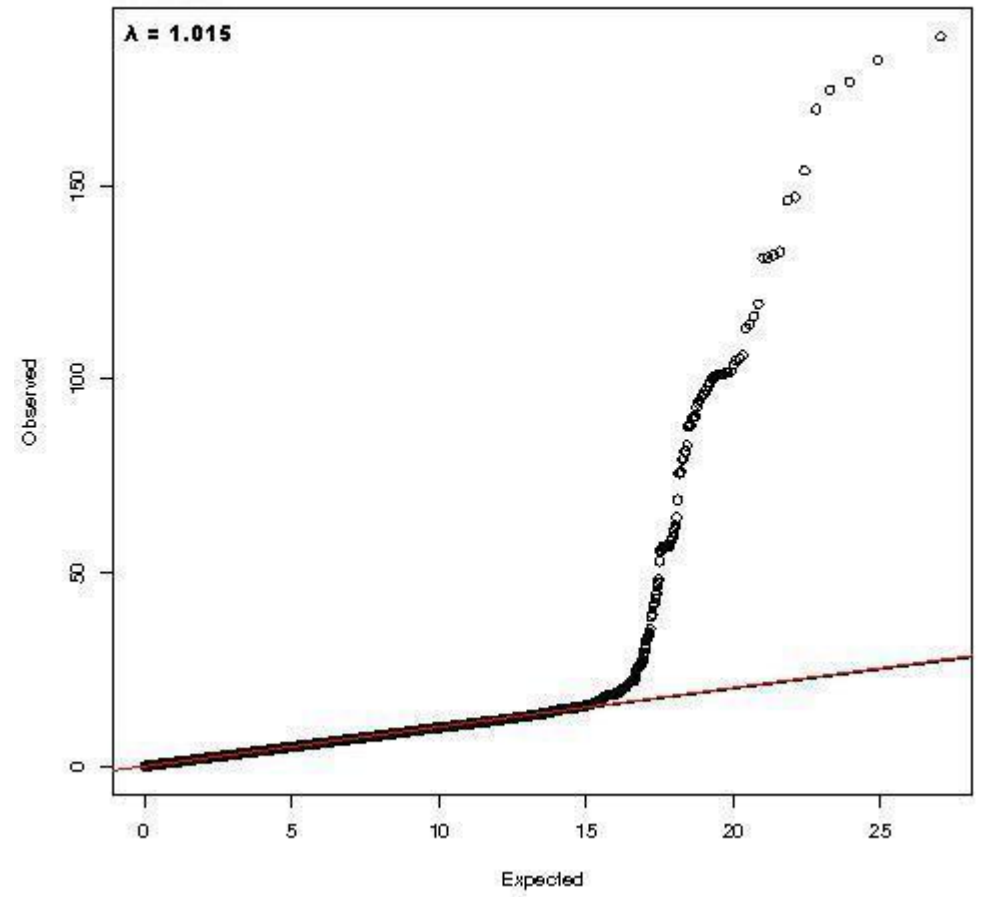
% PC 36:1



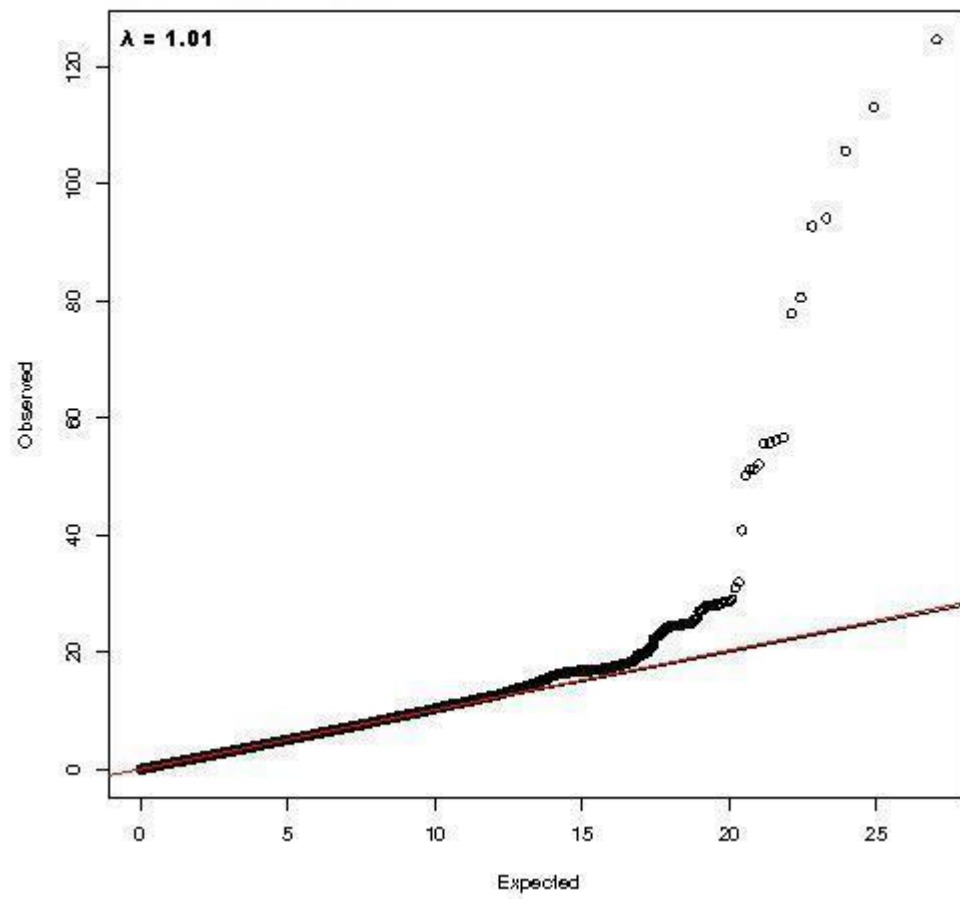
PC 38:5



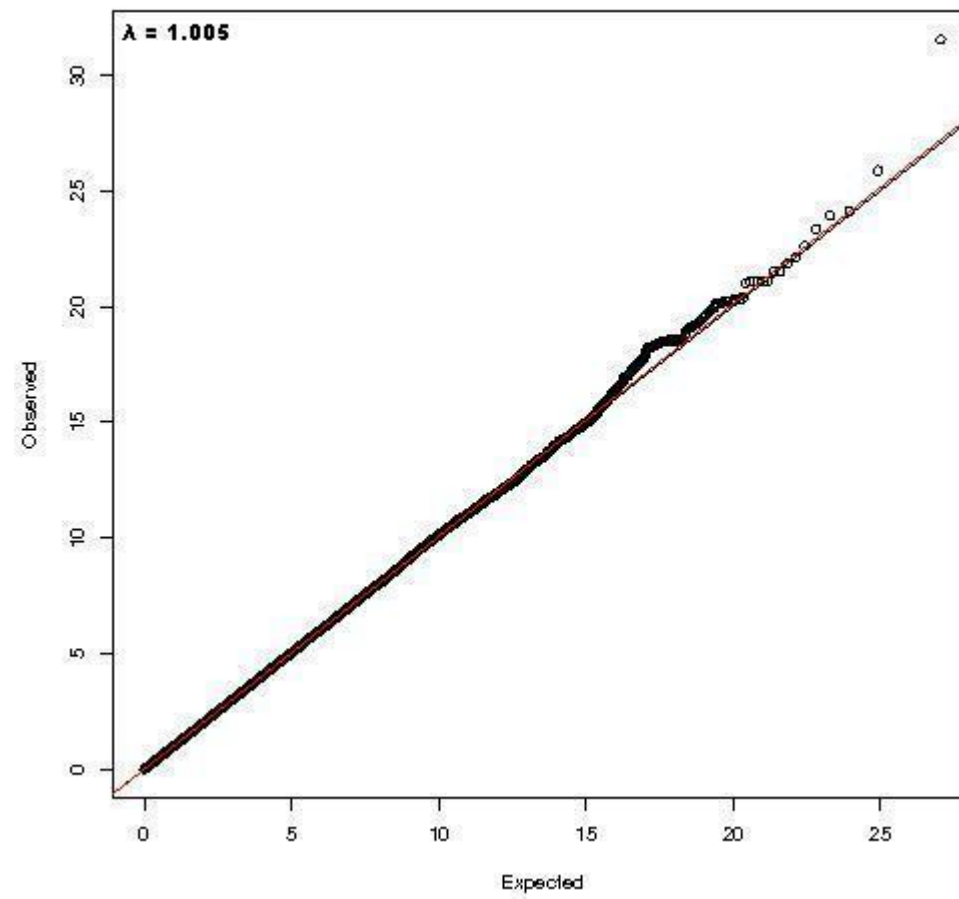
PE 36:4



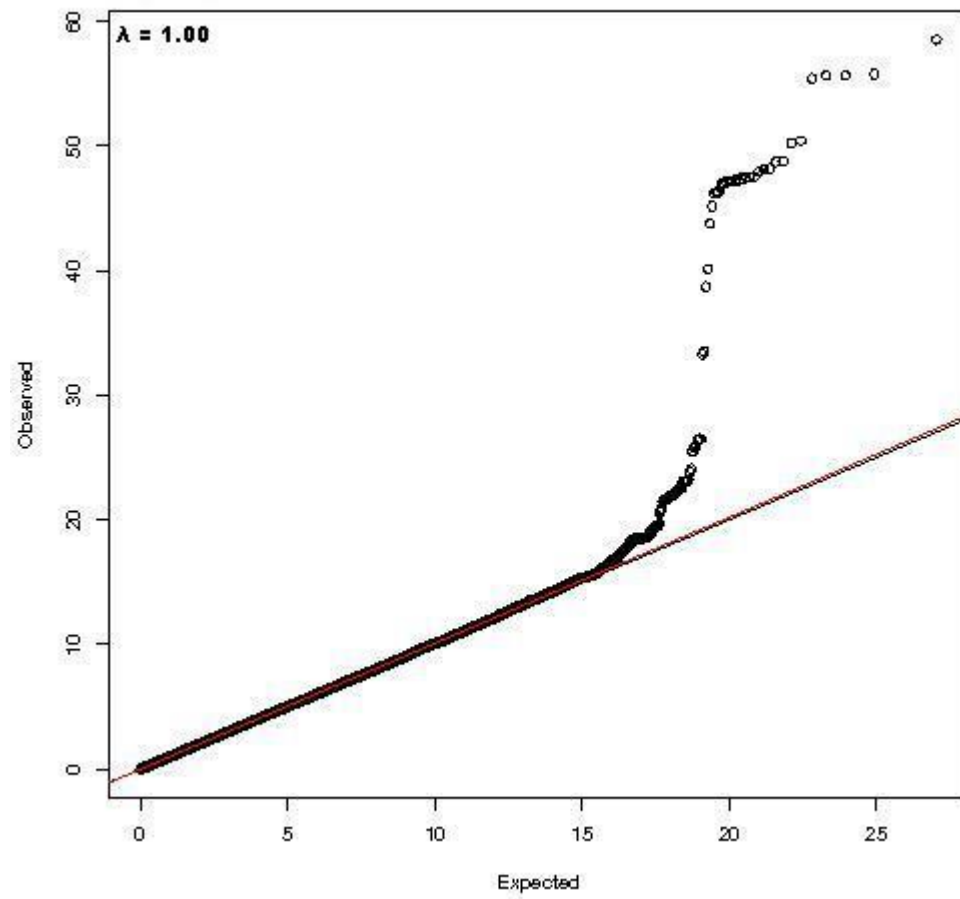
% Mono-unsaturated PE



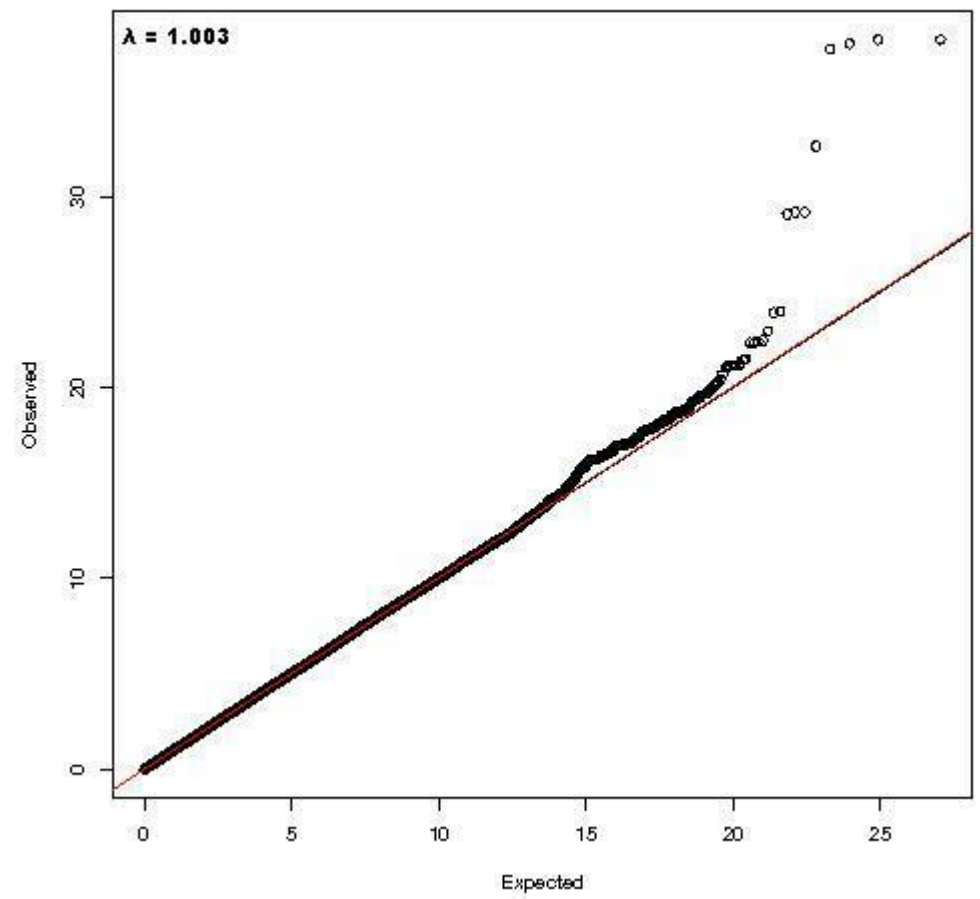
PLPE 18:0/22:6



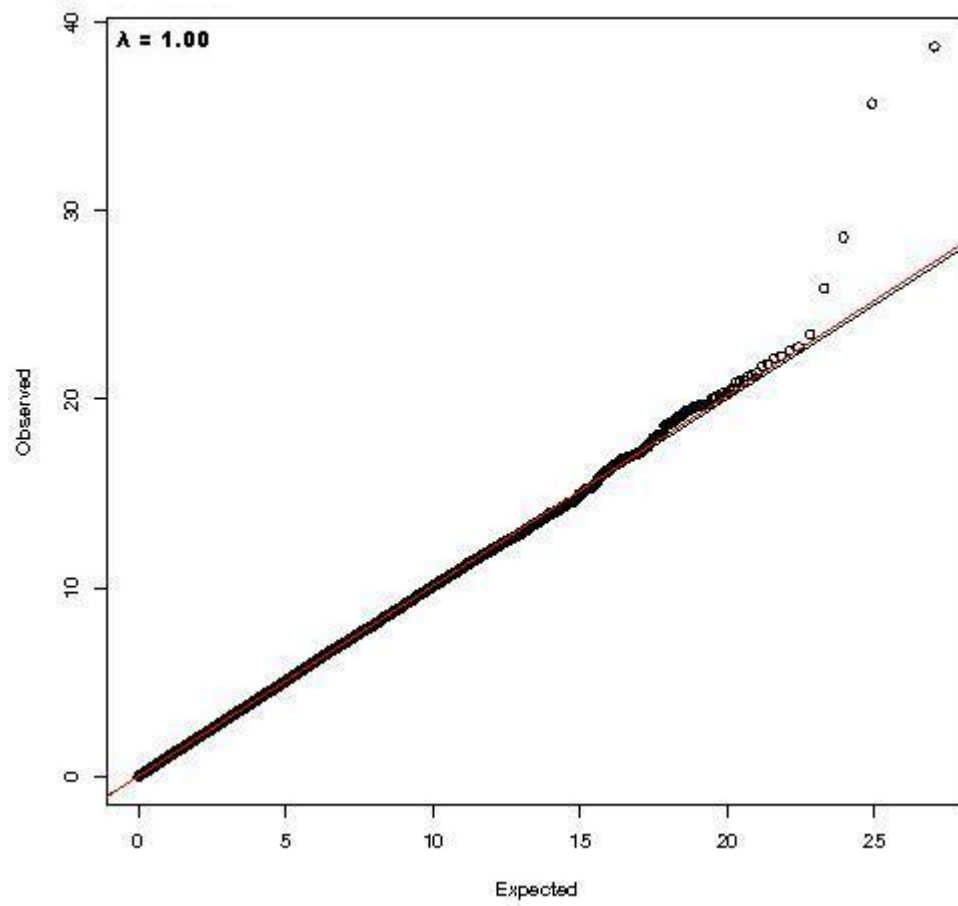
SPM 16:1



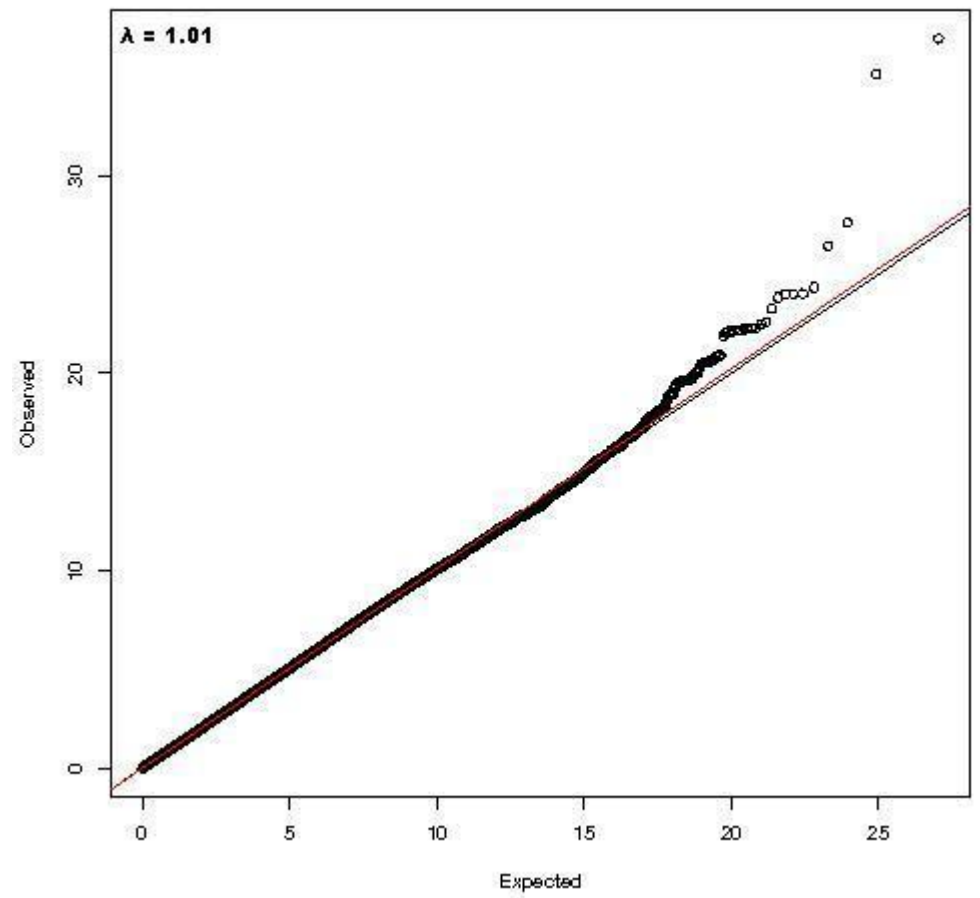
SPM 17:0



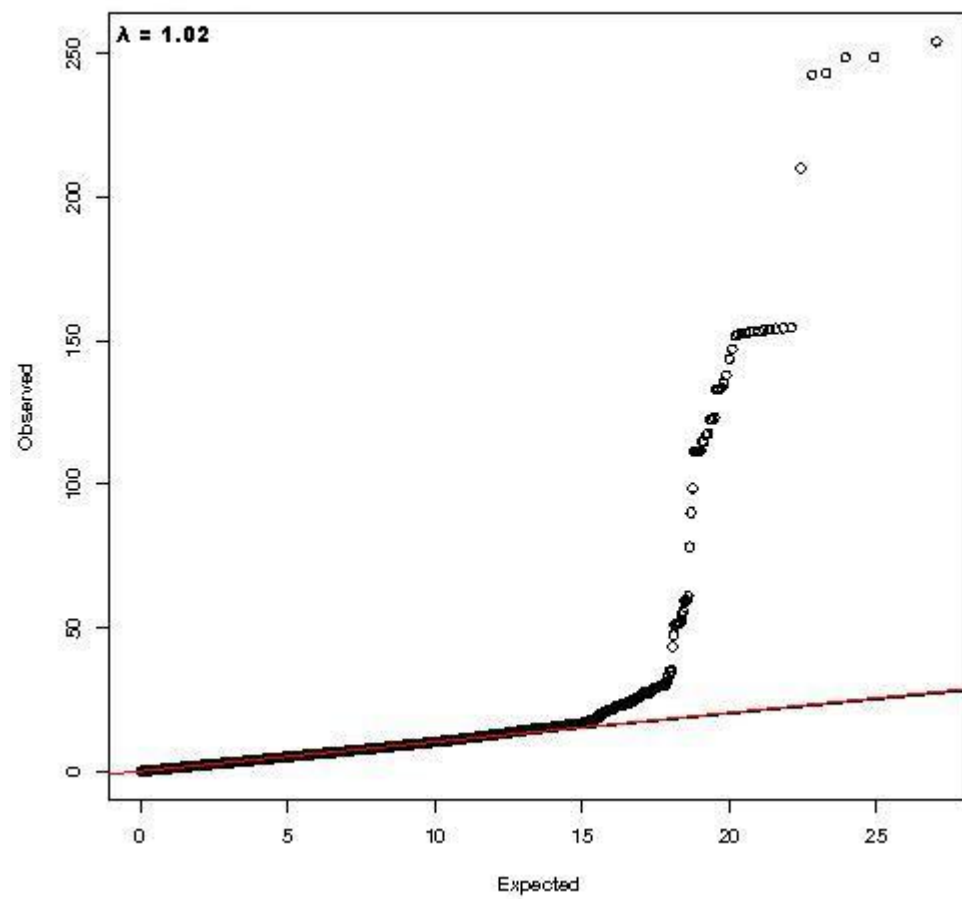
SPM 22:0



SPM 23:0



%SPM 14:0



% SPM 20:1

